

残存エラー数の推定が可能な ソフトウェア試験法について

若杉忠男

若杉情報技術コンサルタントオフィス

電話0466(23)4832

プログラムの開発上のミスをフォールト、その結果の期待に反する現象をエラーと呼ぶ。フローグラフをリンクに分解し、リンクあたりの平均エラー発見率を r とし、あるリンクに存在するフォールトはその下流で発見できるとすると、 L 個下流のリンクで発見できる確率は $(1-r)^{L-1} \times r$ となり、フォールトの存在位置とエラーの発見位置との差からエラーの確率分布が定まる。パスの枝別れによって3つのモデルを考え、試験で発見したエラーの数とそのフォールトの位置から確率分布を求め、試験の効果、見逃しエラー数の推定を行う。これによって、パスと複雑度の関係、パスカバレジ試験の意味、枝別れとエラー数の関係などを説明する。

On a software test method capable of estimating numbers of program errors

Tadao Wakasugi

Wakasugi Information technology consultant office

In testing, we analysis a flow graph into paths of links, and assumes the average error detectability rate per a link is r . The distance between the location where a fault exists and location where the error detected shows the probability distribution of error. By using some fault models and from detected numbers of errors, the method for estimating the r and total number of faults are discussed.

Complexity of systems, meanings of paths coverage, convergence conditions of numbers of errors and some associated problems are considered.

1 はじめに

筆者は、先に状態遷移図をパスに分解して試験するという方法を提案したが[1]、本論文ではそれを一般システムまたはプログラムに適用し、フローグラフと関係付けて解析し理論付けを試みた。なお資料[1]の5章ではフォールトとエラーの区別が不明確であったので、本論文で明確にする。関連の研究として、パスカバレジ[2]、パスによる複雑度[3]、その応用例[4]がある。

2 フォールトモデル

まずソフトウェア試験のフォールトモデルを考える。フォールトモデルとは、フォールトの状態と試験の実施手順をシミュレートするモデルである。ここではプログラムの間違った作り方をフォールトと呼び、その結果生じた予期しない現象をエラーと呼ぶ。フォールトは原因でエラーはその結果である。試験項目のパスを水道にたとえると、上流での異物の混入がフォールトで下流で検出された病原菌がエラーである。

まず、前提条件として、プログラムをブロックまたはサブルーチンに分割する。各

ブロックはほぼ同じいどにフォールトを含むように分割してあるものとする。これを図で表現したものをプログラムのフローグラフと呼ぶが、図1に示すように、ブロックを矢印で表してリンクと呼び、リンクとリンクの句切りに○を描いてノードと呼ぶ。またリンクのシーケンスをパスと呼ぶ。1個のリンクを長さ1のパスと考え、L個並んだリンクは長さLのパスという。ひとつのリンクを反復実行したり、いくつものリンクの間をループすることもあるので、パスの長さは無限となりうる。

ここで次のような仮定をする。

(1) リンクにフォールトがあった場合、その結果であるエラーはそのリンクを先頭にもったパスのどこかに現れる。

(2) どのパスからもエラーが発見されない場合にはフォールトはないものとする。

各リンクの終わりにチェックポイントをおき、同程度の丁寧さでチェックを行う。エラーを各リンクの終わりで発見する率をリンク当りエラー発見率 r と呼ぶ。そこで見逃したエラーが次のリンク、すなわち長さ2のパスの終わりで発見される確率は $(1-r) \times r$ であり、長さLのパスの終わりで発見する確率は $(1-r)^{L-1} \times r$ となる。したがってフォールトの存在するリンクとそのエラーが発見されたパスの長さがL個の場合、すなわちL回のチェックののちに発見された場合のエラーの個数を E_L 個と表すとこれは幾何分布にしたがう。

ここでもし E_1 と E_2 、すなわち2個の連続するリンクの組合せまでをすべて試験してそのエラーの個数を求めると、 r が定まりしたがって分布の形が定まり、総エラー数を推定することができる。

バグの数の集計と分類については多くの例があり収集のためのツールもあるが、存在位置と発見位置とで分類した例は知らない。

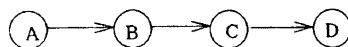


図1 フローグラフの例1

3 フォールトモデルとパスカバレッジ

プログラムの試験法についてパスカバレッジという考え方がある[2]。すべてのリンクを一通り試験をすることをここでは長さ1のパスカバレッジと呼び、連続するL個のリンクの組合せすべてを試験することを長さLのパスカバレッジと呼ぶ。図1のような枝別れのないプログラムでは長さ1でも2でも試験項目の数は同じようなものであるが、図2のような枝別れのある例を考えると、長さ1では6ケース、長さ2は $3 \times 3 = 9$ ケースの試験項目が必要になる。プログラムが複雑になりパスの長さが長くなるとパスの個数は急増する[3]。

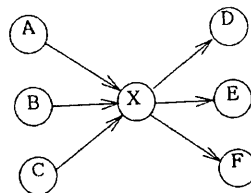


図2 フローグラフの例2

ここで枝別れのある場合の試験について、フォールトの影響と試験の効果の組合せによって、次の3つのタイプを考える。

(1) あるリンクに生じたフォールトは下流のパスの全てにエラーを生じ、それを見つけて修正するとそのフォールトによるエラーはすべて消える。

(2) リンクに生じたフォールトは下流のパスのどれか一本にだけエラーを生じ、それを見つけて修正すると、そのフォールトのエラーはすべてなくなる。

(3) リンクに生じたフォールトは下流のパスの全てにエラーを生じ、それを見つ

けて修正すると、そのエラー発見場所の下流については発見したフォールトによるエラーはすべて消える。しかしエラー発見場所の下流以外についてはフォールトを除去してもその影響は消えない。図3の例でAのフォールトをCで発見するとC以降のパスからはエラーは除去されるが、E以下にはエラーが残っているとす。フォールトを修正するとそのために別のフォールトを作ってしまうということがあるので、フォールトを除去しても他の支流についてその影響が除去されたかどうかは別途チェックしなければならないと考える。

水道にたとえて説明すると、(1)は上流で病原菌が混入したのを下流で検出し、混入場所を突き止めてふさぐことに当たる。(2)は上流で1個の異物が混入したのを下流で網をはって取り除いたという例であり、汚染が全体に広がらないとする。(3)は病原菌を検出したので検出場所で消毒剤を混ぜて下流への被害を防いだが他の支流は検査していないというような例である。

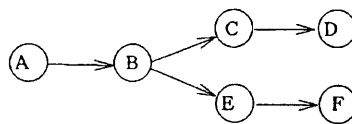
図3によって、長さ2までのパスをすべて試験した場合の長さ3のパスに与える影響、すなわち長さ3のパスへのエラーの見逃し率を考える。

タイプ1のエラーの見逃し率は、B、CおよびEの3地点すべてで見逃す確率で、 $(1-r)^3$ となる。これは楽観的過ぎて現実と合わないと考えられる。

タイプ2の場合はエラーがB→Cまたは、B→Eで生ずる確率をそれぞれ1/2として、 $(1-r) \times (1/2 + 1/2) \times (1-r) = (1-r)^2$ となる。このタイプではフォールトの数とエラーの数は等しくなる。

タイプ3のエラーはBで見逃しかつCまたはEでまた見逃す確率で $(1-r) \times \{(1-r) + (1-r)\} = 2 \times (1-r)^2$ となる。このタイプでは、エラーの数は枝別れの数の増加に伴い増加する。

以降ではタイプ2と3について考える。



パス長さ	1	2
パスが1本の場合のエラー発見率 r		r^2

図3 試験の例

4 タイプ2のエラー見逃し率

タイプ2はフォールトとエラーは1対1なので単純で扱いやすい。 r をリンク当たり平均エラー発見率とし $0 < r < 1$ と考える。以降では単に r と呼ぶ。この仮定のもとで次の定理が成り立つ。

定理1

タイプ2の条件のもとで、フローグラフに含まれているフォールトの総数をF個とし、フローグラフをパスの短い方から網羅するように試験すると、

(1) 長さLまでのパスを100%試験項目でカバーすると、パス当たり平均エラー発見率YLおよびその見逃し率ZLは

$$YL = (1-r)^{L-1} \times r \quad (1)$$

$$ZL = (1-r)^L \quad (2)$$

$$ZL-1 = ZL + YL \quad (3)$$

となる。これらを以降では単にエラー発見率とか見逃し率という。

(2) したがって試験するパスの長さを増やすと、エラー数は0に近づく。

(3) 長さLのパスを100%カバーして発見したエラー数をELとすると、次の式が成立する。

$$F \times YL = EL \quad (4)$$

$$F \times (1 - ZL) = E1 + E2 + \dots + EL \quad (5)$$

証明省略

これから次が成り立つ.

定理 2

r と全体のフォールト数 F は

$$0 < r = 1 - E2/E1 < 1 \quad (6)$$

$$F = E1/r \quad (7)$$

となる. また次の関係が成立する.

$$E1 > E2 > E3 > \dots \rightarrow 0 \quad (8)$$

証明

(5)式の L に 1 と 2 を代入して, 連立させて F を消去すると

$$r = 1 - E2/E1 = (E1 - E2) / E1$$

が得られ, (6)が得られる.

(5)式で L = 1 として(7)式が得られる.

また, (1)式(4)式から

$$F \times (1 - r)^{L-1} \times r = EL$$

$$F \times (1 - r)^L \times r = EL+1$$

これから, $0 < 1 - r = EL+1/EL < 1$ となり, (8)式が成立する.

証明終了.

図 4 に(1)式のパス当りエラー発見率 YL を示す.

(5)式で $L \rightarrow \infty$ とすると $\sum EL = F$ となるが, これはフォールトの個数と発見したエラーの個数が等しいということで, このモ

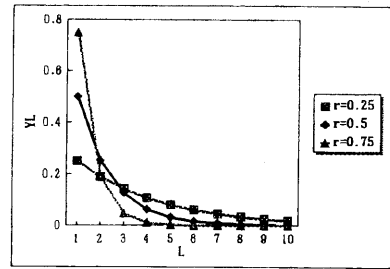


図 4 パス当りエラー発見率 YL (タイプ 2)

デルの前提条件から当然である.

ここで幾何分布の平均値は $1/r$ なので, r を(7)式から求める代わりに, 適当にランダムに試験項目を選んで実施し求めた E1, E2, ... の平均値の逆数

$$r = \Sigma (EL) / \Sigma (L \times EL) \quad (9)$$

から r を求めることもできる. この場合には幾何分布の分散は $(1 - r) / r^2$ で表されるので, 発見エラー数の分散は

$$E1 \times (1 - r) / r^2 \quad (10)$$

で表される. これは $r = 0.5$ で $E1 \times 2$ となり, $r = 0.2$ で $E1 \times 20$ となるから, この推定値のばらつきは相当大きい.

一通りの試験をしたあとで, 見つかったフォールトの合計に, 試験対象の複雑さや開発者のレベルなどを考えた倍率を掛けてバグ数を推定するという方法は, よく使われる経験則である. (7)式で r に 0.5 を代入すると $F = E1 \times 2$ となり, 0.2 を代入すると $F = E1 \times 5$ となる. すなわち, r は担当者の実力を表す値で, (7)式はそれに基づく見積式と考えられる.

このフォールトタイプ 2 では試験をすればエラーは必ず減少する. また(1)式で表されるエラー発見率は長さ L にのみ依存するので, プログラムのエラーはステップ数に

比例すると考えている。このタイプではプログラムの開発労力はステップ数に比例するという仮定しており、これはあまり現実的でないと考えられる[5]。

5 タイプ3のエラー見逃し率の推定

タイプ3については一部をすでに発表したが[1]、ここではその一部を訂正してその後の考察結果を紹介する。

このタイプでは最初に存在したフォールト数をF個とすると、それから生ずるエラーの個数はパスの枝別れに伴って伝播して変化する。

(1) PLを長さLのパスの個数とし長さLのパス当りのエラー発見率とエラー見逃し率をそれぞれYL, ZLとすると

$$YL = PL \times (1 - r)^{L-1} r / P1 \quad (11)$$

$$ZL = PL \times (1 - r)^L / P1 \quad (12)$$

$$ZL-1 = ZL + YL \quad (13)$$

で表される。PLはプログラムの複雑度を表す指標となる。(13)式は(3)式と等しい。

(2) このモデルではエラー数は一定の数ではなくパスの枝別れが増えるにつれて多くなり、逆にリンク当りエラー発見率rが大きいと抑制されて少なくなる。したがってパスが短いときに丁寧に試験をすべきで、パスが長くなってから試験すると苦労が多い。いわゆるビッグバンテストの効率が悪いことがこれで理由づけされる。リンクをサブルーチンと見るとその組合せの数をなるべく少なくする方がテスト効率の向上になる。

長さLのパスの試験による発見エラー数ELは、フォールト数をFとすると、

$$EL = F \times YL$$

$$= F \times PL \times (1 - r)^{L-1} \times r / P1 \quad (14)$$

となる。(14)式で特にL = 1, 2とすると、

$$E1 = F \times r \quad (15)$$

$$E2 = F \times P2 \times (1 - r) \times r / P1 \quad (16)$$

これから

$$r = 1 - E2 \times P1 / (P2 \times E1) \quad (17)$$

これはフォールトタイプ2の(6)式に対応する式で、P2, P1が既知で、かつ長さ1と2のパスを完全に試験して発見したエラーの個数E1とE2が求めればrが求められる。(17)式で、もしP2/P1 < E2/E1, すなわちパスの数の増加以上に発見されるエラーの数が多い場合には、リンク当りフォールト発見率rはマイナスとなる。これは試験をするとかえってエラーが増えることを意味し、現実にはないはずである。

(6)(7)式と(17)(15)式が互いに対応し、プログラムが複雑な場合にはP2 > P1であるから、E1, E2が同じならば、

タイプ3のr > タイプ2のr

タイプ3のF < タイプ2のF

となる。またE1が一定でE2が小さければrは増加し、これはエラーの減りが大きいとエラー発見率が大きいとを示す。

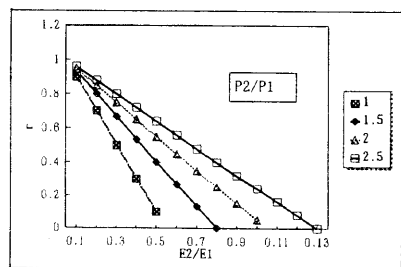


図5 r と E2/E1 の関係

(17)式で、 $P2/P1=1.0\sim 2.5$ に対して $E2/E1$ をいろいろ変えて r を求め図5に示す。 $E2/E1$ が一定のときは、 $P2/P1$ が大きいほど、すなわちプログラムが複雑なほど r が大きくなり、 $P2/P1=1$ でフォールトタイプ2の r と同じになる。

6 エラー総数

r が分かればフォールト総数 F は(15)式から容易に求められるが、エラー総数 G は(18)式で PL と r に依存しあまり簡単ではない。 PL は連結行列を $L-1$ 乗した行列の要素の値を合計すれば求められる。ここでフローグラフのうち簡単な条件のものについてその和を求めてみる。

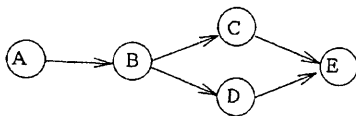
$$G = \sum E L = \sum F \times Y L$$

$$= F \times r \times \sum PL \times (1-r)^{L-1} / P1 \quad (18)$$

6.1 ループを含まない場合

フローグラフにループがない場合には次のようなことがいえる。

・連結行列は、要素を適当に並べかえると下三角要素と対角要素は0とすることができる。もしどう並べ変えても行列の対角要素の下が0にならないとすると、戻るパ



$$(PL) = \{5, 4, 2, 0\}$$

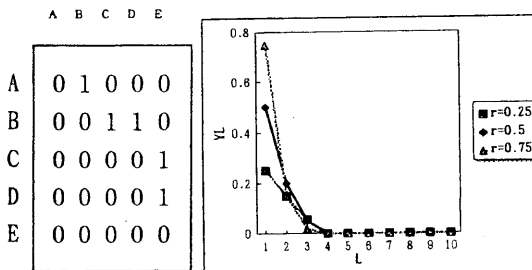


図6 ループのないフローグラフ

スがあることになりループが生じ矛盾する。図6の例では、連結行列をべき乗すると3回目に0になる。これは長さ4以上のパスはないことを示す。{ }内は長さ順のパスの個数の列(パスベクトル)を表す。

・ $L > 4$ で $PL=0$ となるので容易に G を求めることができる。ループがあっても有限回で打ち切ることができる場合には計算できる。

6.2 単純なループを直列に含む場合

・ループが K 個直列に並ぶ場合には、長さ L のパスの個数は K 個のループの中から順序を考慮せず重複を許し L 個を選択する組合せの数となり、 PL は L の $K-1$ 次式になる[3]。図7の場合には L の1次式である。

・連結行列は、1が対角要素にループの数だけあり、下三角要素は0となる。

・ PL は L の $K-1$ 次式であるから、 G は C を適当な定数として

$$G = \sum C \times L^{K-1} \times (1-r)^{L-1}$$

という項目の和になるが、これは任意の K について収束する。証明は次のとおり。

$0 < r < 1$ だから $(1-r) = s^2$ とおけば、 $0 < s < 1$ となる。したがって

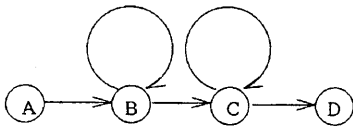
$$G = \sum C \times L^{K-1} \times s^{2(L-1)}$$

$$= \sum (C \times L^{K-1} \times s^{L-1}) \times s^{L-1}$$

$|s| < 1$ ならば任意の正整数 K について $L \rightarrow \infty$ のときに、 $L^k \times s^L \rightarrow 0$ となるので[1]、上式の括弧内 $\rightarrow 0$ となる。したがってある定数 D によって括弧内の値 $< D$ とすることができ、よって上式は

$$G < \sum C \times D \times s^{L-1} = C \times D / (1-s)$$

となり収束が証明される。



(PL) = {5, 8, 12, 16, 20, 24, 28, 32 · · · }
 PLの近似式 = $4 \times L$

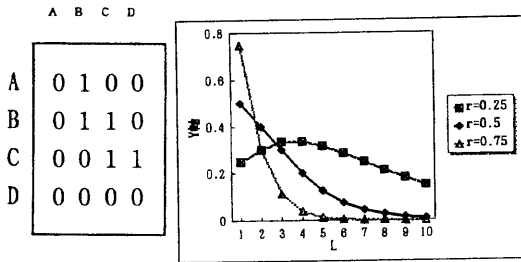


図7 直列のループを含むフローグラフ

図7の例では、 $r = 0.25$ のときはエラー数が一時増加してから減少している。ソフトウェアのデバッグのときに、発見バグ数の累積曲線を一時的に増加しまた減少するロジスティック曲線などで近似できること知られているが、それと関連すると考えられる。すなわち試験開始の初期では試験は短いパスで終わってしまうので、エラーの数は多くない。試験がより長いパスの分析に移ると多くのエラーが発見され、その数が増える。さらに進むと発見数が減少するというわけである。

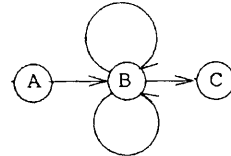
6.3 ループの重合を含む場合

図8に示すような一つのノードに二つのループが付いているフローグラフを考える。これはループと分岐が一つのノードになった(重合)もので、プログラム文でいうとリピート文とIF文が一緒になったものである。

・連結行列の対角要素に重合したループ

の個数(図8では2)が現れる。

・図8のノードBでのパスの個数PLは、2個のループの中からL個を順序も考えて重複を許して選択する組合せの数であり、 2^L となる。ここで $r \leq 0.5$ とすると、ノードBにおける見逃しエラー個数ZLは
 $ZL = PL \times (1-r)^L / P1 = 2^L \times (1-r)^L \geq 1$
 となり、 $L \rightarrow \infty$ としても0にはならず、 $r < 0.5$ のときは逆にLの増加に伴いエラーは増加するという妙なことになる。状態爆発とはこういう現象のことと考えられる。したがって試験でエラーを0にするためには $r > 0.5$ でなければならない。そのときにGは求められる。



(PL) = {4, 9, 18, 36, 72, 144, 288 · · · }
 PLの近似式 = 2.25×2^L

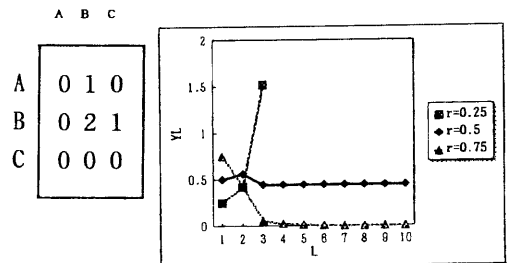


図8 ループの重合を含むフローグラフ

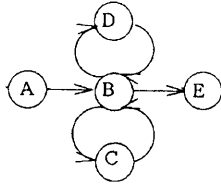
6.4 その他のフローグラフ

一般のフローグラフのエラー総数については、次のようなことがいえる。

(1) フローグラフを並列につないだ場合のPLは、各々のPLの和となる。

(2) ループにノードを追加することによってZLを改善できる。たとえば図8のフローグラフを図9のようにループにノードを挿入すると、BからスタートしてBに到

るパスは長さLが偶数のものだけとなり、PLはサイクル2で振動する。リンクの間にノードを入れることは試験のチェックポイントを増やすのでZLの0への収束を促すことになる。



(PL) = { 6, 11, 12, 22, 24, 44, 48, 88, . . . }

PLの近似式 = L: 奇数 $6 \times 2^{(L-1)/2}$

L: 偶数 $5.5 \times 2^{L/2}$

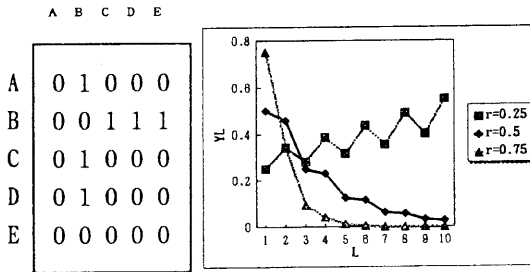


図9 図8の改良例

(3) フローグラフを合成した場合は最も複雑なフローグラフの影響にしたがう。ループの重合があればその影響が大きい。

(4) スパゲッティプログラムはPLを増大させエラーを増やす。したがって構造化プログラミングはPLの増加を抑えるのに有効である。GOTO文は連結行列の要素を増加させる。

(4) システム複雑度を表すサイクロマチック数は(リンク数-ノード数+2)で表されるが、連結行列で考えると(要素数-マトリックス行数+2)となり、これが少ない方がべき乗したときにPLの増加の可能性が少ないことがいえる。

7 まとめ

ソフトウェアの試験のフォールトモデルを考察し、パスの分析によって次のような問題について理論付けができたと考える。

- ・パス数PL, リンク当りエラー発見率r, パスカバレジ, エラー数ELなどの関係
- ・エラー数の推定とその収束条件
- ・エラー数がステップ数に比例しない理由, また発見エラー数の累積曲線がロジスティック曲線で表せたり, 状態爆発が起きたりする理由
- ・パス数とGOTOレスプログラミングやサイクロマチック数との関係
- ・ビッグバンテストの非効率性

本論文の考えの裏付けデータとしてはトランスポート試験スイートの分析があるが[4], 現実の試験に当てはめ評価するのはこれからの課題である。

参考文献

- [1] 若杉忠男: “状態遷移図の同定問題の一解法”, 情報処理学会マルチメディア通信と分散処理研究会, (1996-10).
- [2] 若杉忠男: “OSI適合性試験スイートの評価法-マルチトランジション試験”, 日本電子情報通信学会論文誌, VOL. J72-BI No. 4 (1996-4).
- [3] 若杉忠男: “有限状態マシン(FSM)で表されるシステムの複雑度の評価について”, 情報処理学会マルチメディア通信と分散処理研究会, (1995-9).
- [4] 若杉忠男: “ISOで開発したトランスポートプロトコル適合性試験スイートの質の評価”, 情報処理学会論文誌, Vol. 37 No. 3, (1996-3)
- [5] Lipow, M.: “Number of faults per line of code”, IEEE Transactions on Software Engineering 8: 437-439, (1982).